

# $x$ が大きい場合のベッセル関数 $Y_\nu(x)$ の数値計算<sup>†</sup>

吉田年雄<sup>††</sup> 二宮市三<sup>††</sup>

第2種ベッセル関数  $Y_\nu(x)$  について、 $\nu \geq 0$ かつ正数  $x$  が大きい場合の能率的な数値計算法を提案している。本論文では、 $Y_\nu(x)$  を  $Y_\nu(x) = \sqrt{\nu} t \left\{ \tilde{P}(\nu, t) \sin\left(x - \frac{1}{2}\nu\pi - \frac{1}{4}\pi\right) + \tilde{Q}(\nu, t) \cos\left(x - \frac{1}{2}\nu\pi - \frac{1}{4}\pi\right) \right\}$  の形として、 $\tilde{P}(\nu, t)$  および  $\tilde{Q}(\nu, t)$  の計算式を求めており、ただし、 $t = 1/x$  である。その計算式は  $f_\nu(t) = \tilde{P}(\nu, t) + i\tilde{Q}(\nu, t)$  が満たす微分方程式  $t^2 f_\nu''(t) + 2(t-i)f_\nu'(t) + \left(\frac{1}{4} - \nu^2\right)f_\nu(t) = 0$  に  $\tau$  法を適用することにより求められる ( $i = \sqrt{-1}$ )。

求められた  $\tilde{P}(\nu, t)$  および  $\tilde{Q}(\nu, t)$  の計算式は、 $\begin{cases} \tilde{P}(\nu, t) \\ \tilde{Q}(\nu, t) \end{cases} = \begin{cases} \text{Re} \\ \text{Im} \end{cases} \left( \frac{\sum_{l=0}^m t^l (-i)^l \frac{d_l}{W_l} \sum_{k=l}^m i^k W_{k+1}}{\sum_{k=0}^m i^k W_{k+1}} \right)$  である。た

だし、 $W_0 = 1$ 、 $W_k = \prod_{n=0}^{k-1} \frac{e_n}{\left(n + \frac{1}{2}\right)^2 - \nu^2}$  ( $k \geq 1$ ) であり、 $d_l$  および  $e_n$  は定数である。

## 1. まえがき

$\nu \geq 0$  かつ正数  $x$  が大きい場合に対して、C. Lanczos の  $\tau$  法<sup>1)</sup> を適用した第2種ベッセル関数  $Y_\nu(x)$  の数値計算法を提案する。本方法は、位相・振幅法<sup>2)</sup>(phase-amplitude method)，あるいは、漸化式を用いる計算法<sup>3)</sup>と比べて、同じ計算量では、かなり精度が高い。また、漸近展開式とは異なり、計算量を増せば、 $x$  の小さいところまで  $Y_\nu(x)$  の値を求めることができる。

本論文では、 $0 \leq \nu \leq 2.5$  に対して、 $Y_\nu(x)$  の近似式を与える。 $\nu > 2.5$  に対しては、 $\nu$  の小数部分を  $\mu$  とするとき、

$\mu \leq 0.5$  ならば、 $Y_{\mu+1}(x)$  と  $Y_{\mu+2}(x)$   
 $\mu > 0.5$  ならば、 $Y_\mu(x)$  と  $Y_{\mu+1}(x)$

を本近似式により求め、漸化式

$$Y_{\nu+1}(x) = \frac{2\nu}{x} Y_\nu(x) - Y_{\nu-1}(x) \quad (1)$$

を用いて  $Y_\nu(x)$  の値を計算する。

本論文では、 $x$  が大きい場合の  $Y_\nu(x)$  の計算法を述べているが、 $x$  が小さい場合の  $Y_\nu(x)$  の計算法はすでに報告した<sup>4)</sup>。この両者の計算法により、すべての正数  $x$  について、 $Y_\nu(x)$  の値を計算することができる。

<sup>†</sup> Computation of Bessel Functions  $Y_\nu(x)$  for Large Argument  $x$  by TOSHIO YOSHIDA and ICHIZO NINOMIYA (Faculty of Engineering, Nagoya University).

<sup>††</sup> 名古屋大学工学部情報工学

## 2. 計 算 法

第2種ベッセル関数  $Y_\nu(x)$  は、第1種ハンケル関数

$$H_\nu^{(1)}(x) = J_\nu(x) + iY_\nu(x) \quad (2)$$

の虚部として与えられる。ここで、 $i$  は虚数の単位 ( $i = \sqrt{-1}$ )、 $J_\nu(x)$  は第1種ベッセル関数である。

$H_\nu^{(1)}(x)$  は次のように積分表示できる<sup>5)</sup>。

$$H_\nu^{(1)}(x) = \left( \frac{2}{\pi x} \right)^{1/2} e^{i(x-(1/2)\nu\pi-(1/4)\pi)} f_\nu(t) \quad (3)$$

ここで、

$$f_\nu(t) = \frac{1}{\Gamma\left(\nu + \frac{1}{2}\right)} \int_0^\infty e^{-u} u^{\nu-1/2} \left(1 + \frac{it}{2}\right)^{\nu-1/2} du \quad (4)$$

である。ただし、 $t = \frac{1}{x}$  であり、以後、 $t$  はすべてこの意味で用いることとする。 $f_\nu(t)$  は複素数関数で、その実部、虚部を、それぞれ、 $P(\nu, t)$ 、 $Q(\nu, t)$  として、

$$f_\nu(t) = P(\nu, t) + iQ(\nu, t) \quad (5)$$

と表せば、式(2)および(3)より、 $Y_\nu(x)$  は、

$$Y_\nu(x) = \left( \frac{2}{\pi x} \right)^{1/2} \left\{ P(\nu, t) \sin\left(x - \frac{1}{2}\nu\pi - \frac{1}{4}\pi\right) + Q(\nu, t) \cos\left(x - \frac{1}{2}\nu\pi - \frac{1}{4}\pi\right) \right\} \quad (6)$$

と表される。したがって、 $Y_\nu(x)$  の計算においては、 $P(\nu, t)$  および  $Q(\nu, t)$  をいかに計算するかが問題となる。

さて、 $P(\nu, t)$  および  $Q(\nu, t)$  は、式(4)により、次式にて与えることができる。

$$\begin{aligned} P(\nu, t) = & \frac{1}{2\Gamma\left(\nu + \frac{1}{2}\right)} \int_0^\infty e^{-u} u^{\nu-1/2} \left\{ \left(1 + \frac{itu}{2}\right)^{\nu-1/2} \right. \\ & \left. + \left(1 - \frac{itu}{2}\right)^{\nu-1/2} \right\} du \end{aligned} \quad (7)$$

$$\begin{aligned} Q(\nu, t) = & \frac{1}{2i\Gamma\left(\nu + \frac{1}{2}\right)} \int_0^\infty e^{-u} u^{\nu-1/2} \left\{ \left(1 + \frac{itu}{2}\right)^{\nu-1/2} \right. \\ & \left. - \left(1 - \frac{itu}{2}\right)^{\nu-1/2} \right\} du \end{aligned} \quad (8)$$

式(7)および(8)において、 $(1 \pm itu/2)^{\nu-1/2}$  を泰勒展開し、形式的に項別積分を行うと、よく知られた漸近展開式

$$\begin{aligned} P(\nu, t) \sim & \sum_{k=0}^{\infty} (-1)^k \frac{(\nu, 2k)}{4^k} \left(\frac{1}{x}\right)^{2k} \\ = & 1 - \frac{(4\nu^2 - 1^2)(4\nu^2 - 3^2)}{2!(8x)^2} \\ & + \frac{(4\nu^2 - 1^2)(4\nu^2 - 3^2)(4\nu^2 - 5^2)(4\nu^2 - 7^2)}{4!(8x)^4} - \dots \end{aligned} \quad (9)$$

$$\begin{aligned} Q(\nu, t) \sim & \sum_{k=0}^{\infty} (-1)^k \frac{(\nu, 2k+1)}{2 \cdot 4^k} \left(\frac{1}{x}\right)^{2k+1} \\ = & \frac{4\nu^2 - 1^2}{8x} \\ & - \frac{(4\nu^2 - 1^2)(4\nu^2 - 3^2)(4\nu^2 - 5^2)}{3!(8x)^3} + \dots \end{aligned} \quad (10)$$

が得られる。ただし、

$$(\nu, k) = \frac{\Gamma\left(\nu + k + \frac{1}{2}\right)}{k! \Gamma\left(\nu - k + \frac{1}{2}\right)} \quad (11)$$

である。これらの漸近展開式は、 $\nu$  が半整数のときは、有限個の項となり、厳密な式になるが、それ以外のときには、発散級数であり、最適な項数で打ち切ったとしても、 $x$  が十分に大きいときを除いて数値計算には用いることはできない。

本論文では、 $x$  が十分に大きいときはいうまでもなく、 $x$  が比較的小さいところまで、能率的に、 $P(\nu, t)$  および  $Q(\nu, t)$  を計算する方法を提案する。

## 2.1 $\tau$ 法

第1種ハンケル関数  $H_\nu^{(1)}(x)$  は次の微分方程式を満足する<sup>6)</sup>。

$$x^2 w''(x) + x w'(x) + (x^2 - \nu^2) w(x) = 0 \quad (12)$$

式(3)を上式に代入することにより、 $f_\nu(t)$  は次の微分方程式

$$\begin{aligned} t^2 f_\nu''(t) + 2(t-i) f_\nu'(t) \\ + \left(\frac{1}{4} - \nu^2\right) f_\nu(t) = 0 \end{aligned} \quad (13)$$

を満足することがわかる。この微分方程式に  $\tau$  法を適用して、 $t$  が小さいときの  $f_\nu(t)$  の近似式を求めることする。そこで、上式の右辺に、直交区間  $0 \leq t \leq \eta$  のずらし超球多項式 (shifted ultraspherical polynomial) を  $\tau$  倍したものと付加した微分方程式

$$\begin{aligned} t^2 f_{\nu m}''(t) + 2(t-i) f_{\nu m}'(t) \\ + \left(\frac{1}{4} - \nu^2\right) f_{\nu m}(t) \\ = \tau C_m^{*(\alpha)}\left(\frac{t}{\eta}\right) \end{aligned} \quad (14)$$

を考える。ずらし超球多項式  $C_m^{*(\alpha)}(t)$  は、超球多項式<sup>7)</sup>  $C_m^{(\alpha)}(t)$  の直交区間  $-1 \leq t \leq 1$  を、 $0 \leq t \leq 1$  にずらしたもので、 $C_m^{*(\alpha)}(t) = C_m^{(\alpha)}(2t-1)$  なる関係がある) は、 $\alpha > -\frac{1}{2}$ ,  $\alpha \neq 0$  のとき、

$$\begin{aligned} C_m^{*(\alpha)}(t) &= \sum_{k=0}^m C_{mk}^{*(\alpha)} t^k \\ &= \frac{\Gamma\left(\alpha + \frac{1}{2}\right)}{\Gamma(2\alpha)} \\ &\times \sum_{k=0}^m (-1)^{m-k} \frac{\Gamma(2\alpha + m + k)}{k!(m-k)! \Gamma\left(\alpha + \frac{1}{2} + k\right)} t^k \end{aligned} \quad (15)$$

と定義され、 $\alpha = 0$  のときには、 $C_m^{*(0)}(t) = \lim_{\alpha \rightarrow 0} C_m^{(\alpha)}(t)$  と定義される。ずらし超球多項式は、 $\alpha = 0$  のときには、ずらしチエビシェフ多項式<sup>7)</sup>  $T_m^*(t)$  を  $2/m$  倍したものに等しく、 $\alpha = 0.5$  のときには、ずらしルジャンドル多項式<sup>7)</sup>  $P_m^*(t)$ 、 $\alpha = 1$  のときには、第2種ずらしチエビシェフ多項式<sup>7)</sup>  $U_m^*(t)$  と等しい。式(14)は次の  $m$  次の多項式を特解としてもつ。

$$f_{\nu m}(t) = -\tau \sum_{k=0}^m \frac{C_{mk}^{*(\alpha)} \sum_{l=0}^k a_{lt} t^l}{2(k+1)a_{k+1}\eta^k} \quad (16)$$

ただし、

$$\left. \begin{aligned} a_0 &= 1 \\ a_i &= i \frac{(4\nu^2 - 1^2)(4\nu^2 - 3^2) \cdots (4\nu^2 - (2i-1)^2)}{l! 8^i} \end{aligned} \right\} \quad (17)$$

であり、 $C_{mk}^{*(\alpha)}$  は式(15)で与えられる係数である。式(14)の右辺の  $\tau$  が十分に小さいならば、この  $f_{sm}(t)$  は、 $C_m^{*(\alpha)}(t/\eta)$  の直交区間  $0 \leq t \leq \eta$  において、式(13)の  $f_s(t)$  に対する近似式を考えることができるであろう。 $f_s(0)=1$  であるので、初期条件として、 $f_{sm}(0)=1$  を採用する。それで、 $\tau$  は

$$\tau = -\frac{1}{\sum_{k=0}^m \frac{C_{mk}^{*(\alpha)}}{2(k+1)\alpha_{k+1}\eta^k}} \quad (18)$$

と決められ、

$$f_{sm}(t) = \frac{\sum_{k=0}^m \frac{C_{mk}^{*(\alpha)} \sum_{l=0}^k a_l t^l}{(k+1)\alpha_{k+1}\eta^k}}{\sum_{k=0}^m \frac{C_{mk}^{*(\alpha)}}{(k+1)\alpha_{k+1}\eta^k}} \quad (19)$$

が得られる。上式は、式(13)の形式的級数解、すなわち、 $f_s(t)$  の  $t=0$  を中心とする漸近展開式

$$f_s(t) \sim \sum_{l=0}^{\infty} a_l t^l \quad (20)$$

の  $k$  項までの和 ( $k=0, 1, \dots, m$ ) の重みつき平均を表している。

## 2.2 誤差解析

$f_{sm}(t)$  の絶対誤差  $\varepsilon_{sm}(t)$  を次式にて定義する。

$$\varepsilon_{sm}(t) = f_{sm}(t) - f_s(t) \quad (21)$$

$f_{sm}(t)$  は、

$$\begin{aligned} t^2 f_{sm}''(t) + 2(t-i) f_{sm}'(t) + \left(\frac{1}{4} - \nu^2\right) f_{sm}(t) \\ = \tau C_m^{*(\alpha)}\left(\frac{t}{\eta}\right) \end{aligned} \quad (22)$$

を満足する。ただし、上式の右辺および以下の式中の  $\tau$  は式(18)で与えられたものとする。したがって、式(13)、(21)および(22)より、 $\varepsilon_{sm}(t)$  の満足する微分方程式は、

$$\begin{aligned} t^2 \varepsilon_{sm}''(t) + 2(t-i) \varepsilon_{sm}'(t) + \left(\frac{1}{4} - \nu^2\right) \varepsilon_{sm}(t) \\ = \tau C_m^{*(\alpha)}\left(\frac{t}{\eta}\right) \end{aligned} \quad (23)$$

として与えられる。上式の一般解を求めよう。式(13)の独立な解は、

$$f_s(t) = \left(\frac{\pi}{2t}\right)^{1/2} e^{-i((1/t)-(1/2)\nu\pi-(1/4)\pi)} H_s^{(1)}(x) \quad (24)$$

$$g_s(t) = \left(\frac{\pi}{2t}\right)^{1/2} e^{-i((1/t)-(1/2)\nu\pi-(1/4)\pi)} H_s^{(2)}(x) \quad (25)$$

である。ただし、 $H_s^{(2)}(x)$  は第2種ハンケル関数であり、式(25)は、 $H_s^{(2)}(x)$  が式(12)を満足することから得られる。したがって、定数変化の方法を用いて、式(23)の一般解を求める。

$$\varepsilon_{sm}(t) = A f_s(t) + B g_s(t)$$

$$\begin{aligned} &- f_s(t) \tau \int_0^t \frac{C_m^{*(\alpha)}\left(\frac{u}{\eta}\right) g_s(u)}{u^2 \Delta(u)} du \\ &+ g_s(t) \tau \int_0^t \frac{C_m^{*(\alpha)}\left(\frac{u}{\eta}\right) f_s(u)}{u^2 \Delta(u)} du \end{aligned} \quad (26)$$

となる。ただし、 $A$  および  $B$  は初期条件によって決定される定数であり、

$$\begin{aligned} \Delta(u) &= f_s(u) g_s'(u) - f_s'(u) g_s(u) \\ &= \frac{2i}{u^4} \exp\left\{-2i\left(\frac{1}{u} - \frac{1}{2}\nu\pi - \frac{1}{4}\pi\right)\right\} \end{aligned} \quad (27)$$

である。上式の第2式は、ハンケル関数のロンスキアン関係式<sup>8)</sup>を用いて求められる。 $f_s(t)=1+O(t)$  および  $g_s(t)=\exp\left\{-2i\left(\frac{1}{t} - \frac{1}{2}\nu\pi - \frac{1}{4}\pi\right)\right\} \{1+O(t)\}$  より、

初期条件  $\varepsilon_{sm}(0)=0$  は、

$$A \lim_{t \rightarrow 0} f_s(t) + B \lim_{t \rightarrow 0} g_s(t) = 0 \quad (28)$$

と表される。 $\lim_{t \rightarrow 0} f_s(t)=1$  であるが、 $\lim_{t \rightarrow 0} g_s(t)$  は存在しないので、上式が成り立つためには、

$$A=B=0 \quad (29)$$

でなければならない。したがって、絶対誤差  $\varepsilon_{sm}(t)$  は、

$$\varepsilon_{sm}(t) = \tau \int_0^t \frac{\{f_s(u)g_s(t) - f_s(t)g_s(u)\} u^2 C_m^{*(\alpha)}\left(\frac{u}{\eta}\right)}{2i \exp\left\{-2i\left(\frac{1}{u} - \frac{1}{2}\nu\pi - \frac{1}{4}\pi\right)\right\}} du \quad (30)$$

と表される。

$m \rightarrow \infty$  のとき、 $0 \leq t < +\infty$  で、 $|\varepsilon_{sm}(t)|$  が 0 へ一様収束するかどうかを調べよう。ここでは、 $\alpha \geq 0$  の場合を考える。 $-\frac{1}{2} < \alpha < 0$  の場合は、紙面の都合で省略するが、 $\alpha \geq 0$  の場合と同様な結果が得られる。 $\alpha \geq 0$  ならば、 $0 \leq u \leq \eta$  において、

$$C_m^{*(\alpha)}\left(\frac{u}{\eta}\right) \leq \frac{\Gamma(m+2\alpha)}{\Gamma(m+1)\Gamma(2\alpha)} \quad (\alpha \neq 0) \quad (31)$$

$$C_m^{*(0)}\left(\frac{u}{\eta}\right) \leq \frac{2}{m} \quad (32)$$

であること<sup>9)</sup> より、

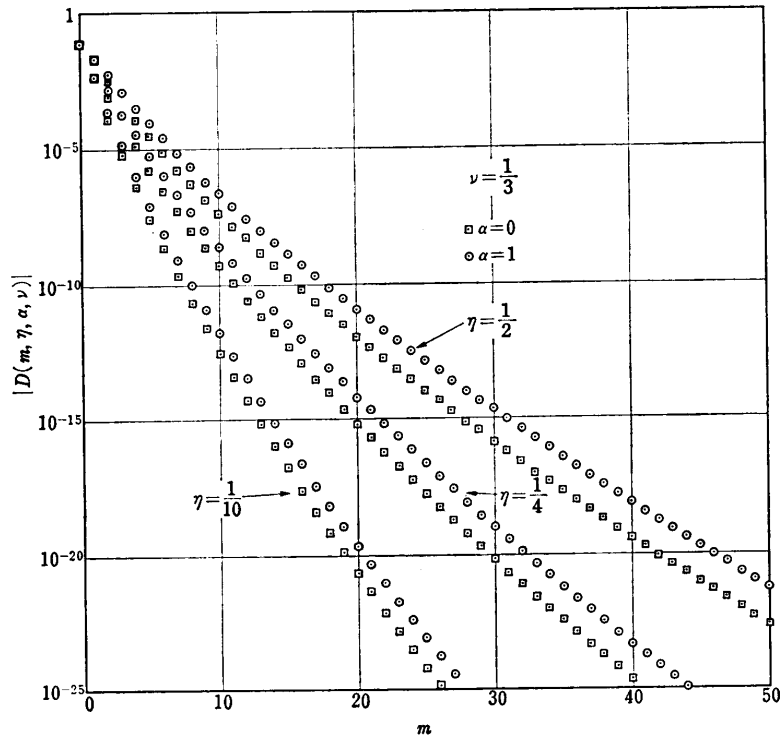


図 1  $m$  に対する  $|D(m, \eta, \alpha, \nu)|$  の値  
Fig. 1  $|D(m, \eta, \alpha, \nu)|$  as a function of  $m$ .

$$|\varepsilon_{\nu m}(t)| \leq \frac{1}{2} |D(m, \eta, \alpha, \nu)|$$

$$\times \int_0^t |\{f_\nu(u)g_\nu(t) - f_\nu(t)g_\nu(u)\} u^2| du \quad (33)$$

が成り立つ。ただし、

$$D(m, \eta, \alpha, \nu) = \frac{\Gamma(m+2\alpha)}{\Gamma(m+1)\Gamma(2\alpha)} \sum_{k=0}^m \frac{C_{mk} \nu^{(k)}}{(k+1)\alpha_{k+1}\eta^k} \quad (34)$$

である。式(33)の被積分関数は、 $t$  が有限ならば、有界な関数であるので、その積分値は  $t$  の有界な関数となる。したがって、固定された  $\eta, \alpha$  および  $\nu$  に対して、 $m \rightarrow \infty$  のとき、 $|\varepsilon_{\nu m}(t)|$  が 0 に一様収束するためには、 $|D(m, \eta, \alpha, \nu)| \rightarrow 0$  であればよい。 $m \rightarrow \infty$  のとき、 $|D(m, \eta, \alpha, \nu)| \rightarrow 0$  であることの解析的な証明は、現在のところ、成功していないが、 $\eta, \alpha$  および  $\nu$  のいろいろな値に対して行った数多くの数値実験は、そのようになることを示している。図 1 には、数値実験の一例として、 $\eta = \frac{1}{10}, \frac{1}{4}$  および  $\frac{1}{2}, \alpha = 0$  および  $1, \nu = \frac{1}{3}$ について、 $m$  に対する  $|D(m, \eta, \alpha, \nu)|$  の減少の様子を示す。

### 2.3 $\alpha$ の選定

$f_{\nu m}(t)$  の相対誤差  $\varepsilon_{\nu m}(t)$  を

$$\varepsilon_{\nu m}(t) = \frac{\varepsilon_{\nu m}(t)}{f_{\nu m}(t)}$$

$$= \frac{f_{\nu m}(t) - f_\nu(t)}{f_\nu(t)} \quad (35)$$

と定義し、以下、相対誤差  $\varepsilon_{\nu m}(t)$  の絶対値を、「相対誤差  $|\varepsilon_{\nu m}(t)|$ 」と略記する。なお、上式の実際の計算において、 $f_\nu(t)$  の値としては、本論文の方法とは別の方針により、十分に高い精度で計算された値を採用した。別の方針については付録参照。

式(19)で与えられる近似式  $f_{\nu m}(t)$  は、パラメータ  $\eta, m, \nu$  および  $\alpha$  をもっている。ここでは、パラメータ  $\alpha (\alpha > -\frac{1}{2})$  について、その最適値を見つけることにしよう。そのため、パラメータ  $\eta, m$  および  $\nu$  を固定して、 $0 \leq t \leq \eta$  における相対誤差  $|\varepsilon_{\nu m}(t)|$  の  $\alpha$  依存性を調べる。図 2 には、 $\eta = \frac{1}{4}, m = 10, \nu = \frac{1}{3}$  の場合、 $\alpha = 0, 0.5, 1$  および  $1.5$  に対して、 $0 \leq t \leq \eta$  における相対誤差  $|\varepsilon_{\nu m}(t)|$  の様子を示す。 $|\varepsilon_{\nu m}(t)|$  の  $t$  に対する変化の様子は、 $\alpha$  によって大きく異なってい

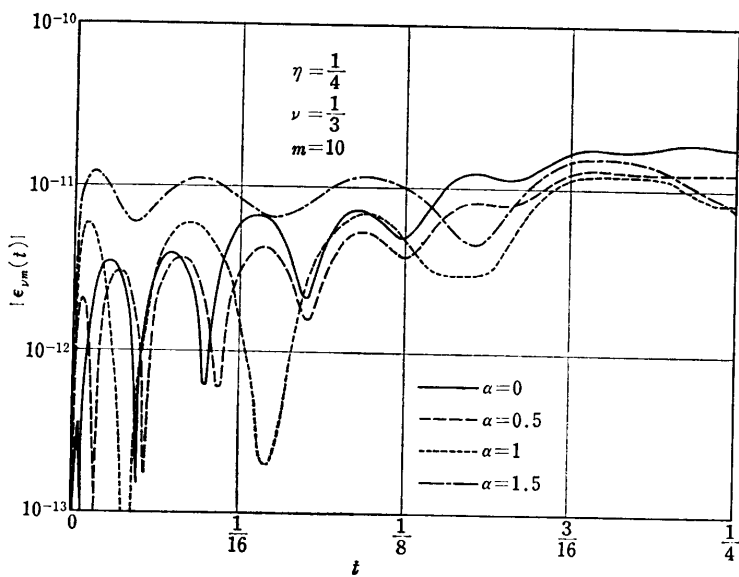


図 2  $t$  に対する  $|\epsilon_{\nu,m}(t)|$   
Fig. 2  $|\epsilon_{\nu,m}(t)|$  as a function of  $t$ .

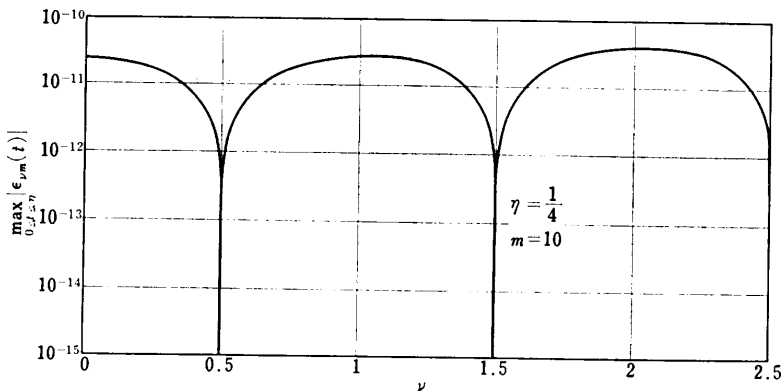


図 3  $\nu$  に対する  $\max_{0 \leq t \leq \eta} |\epsilon_{\nu,m}(t)|$   
Fig. 3  $\max_{0 \leq t \leq \eta} |\epsilon_{\nu,m}(t)|$  as a function of  $\nu$ .

るが、 $\max_{0 \leq t \leq \eta} |\epsilon_{\nu,m}(t)|$  は、 $\alpha$  によって大差ないことがわかる。この事実は、 $\eta, m$  および  $\nu$  の他の値に対して行った結果についても同様である。したがって、 $\alpha$  としては、何を選んでもよいわけであるが、いろいろな場合について調べた結果、 $\alpha=1$  付近で  $\max_{0 \leq t \leq \eta} |\epsilon_{\nu,m}(t)|$  が、わずかであるが最小となるので、

$$\alpha=1 \quad (36)$$

と選ぶことにする。このとき、 $C_m^{*(\alpha)}(t)$  は第2種ずらし チェビシェフ多項式  $U_m^*(t)$  となる。

#### 2.4 $\max_{0 \leq t \leq \eta} |\epsilon_{\nu,m}(t)|$ の $\nu$ 依存性

$\eta$  および  $m$  をいろいろな値に固定して、 $0 \leq t \leq \eta$  における相対誤差  $|\epsilon_{\nu,m}(t)|$  の最大値  $\max_{0 \leq t \leq \eta} |\epsilon_{\nu,m}(t)|$  の  $\nu$  依存性について調べた。図 3 には、その一例として、 $\eta=1/4, m=10$  の場合について、 $0 \leq \nu \leq 2.5$  における  $\max_{0 \leq t \leq \eta} |\epsilon_{\nu,m}(t)|$  の  $\nu$  依存性を示す。この  $\max_{0 \leq t \leq \eta} |\epsilon_{\nu,m}(t)|$  は、 $0 \leq \nu \leq 2.5$  において、 $\nu=0, 1$  あるいは 2 付近で、最大の相対誤差  $\max_{0 \leq \nu \leq 2.5} \{ \max_{0 \leq t \leq \eta} |\epsilon_{\nu,m}(t)| \}$  をとつて

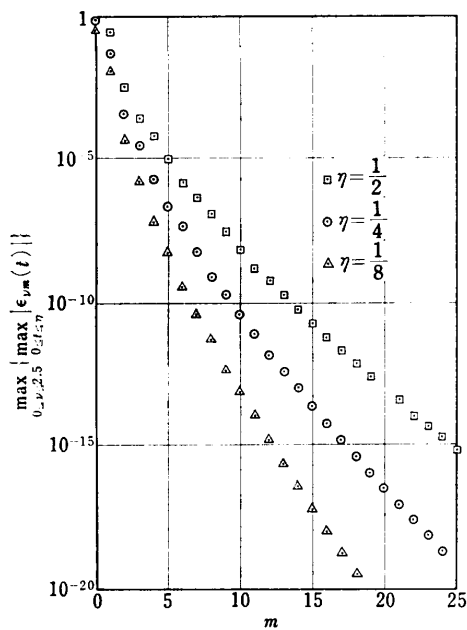


図 4  $m$  に対する  $\max_{0 \leq \nu \leq 2.5} \{ \max_{0 \leq t \leq \eta} |\epsilon_{\nu,m}(t)| \}$   
Fig. 4  $\max_{0 \leq \nu \leq 2.5} \{ \max_{0 \leq t \leq \eta} |\epsilon_{\nu,m}(t)| \}$  as a function of  $m$ .

いる。なお、 $\nu=0.5, 1.5$  および  $2.5$  で、 $\max_{0 \leq t \leq \eta} |\epsilon_{\nu,m}(t)|$  が急激に小さくなっているのは、そこでは、式(19)が漸近展開式（この場合には、漸近展開式は項が有限個となり、厳密な式になる）と一致するからである。この急激に小さくなる部分を除いて、 $\max_{0 \leq t \leq \eta} |\epsilon_{\nu,m}(t)|$  は同じ大きさであることがわかる。

## 2.5 $\eta$ および $m$ の選定

最大の相対誤差  $\max_{0 \leq \nu \leq 2.5} \{ \max_{0 \leq t \leq \eta} |\epsilon_{\nu,m}(t)| \}$  は、パラメータとして、 $\eta$  と  $m$  のみを含んでいる。図 4 には、 $\eta = \frac{1}{2}, \frac{1}{4}$  および  $\frac{1}{8}$  について、 $m$  に対する  $\max_{0 \leq \nu \leq 2.5} \{ \max_{0 \leq t \leq \eta} |\epsilon_{\nu,m}(t)| \}$  が示されている。同じ相対精度を得るために、 $\eta$  が小さいほど、 $m$  は少なくて済む。 $\eta$  は、 $t$  のどの範囲で、本計算法を用いるかによって決まる定数である。たとえば、 $0 \leq t \leq \frac{1}{2}$  ( $2 \leq x \leq \infty$ ) で、

本計算法を使うとすれば、 $\eta = \frac{1}{2}$  としなければならない。 $\eta$  が決まれば、 $m$  は、 $\max_{0 \leq \nu \leq 2.5} \{ \max_{0 \leq t \leq \eta} |\epsilon_{\nu,m}(t)| \}$  が所要の精度（単精度あるいは倍精度）を満足する最小の  $m$  として決めることができる。ただし、この例の場合、 $t$  が小さいところ、たとえば、 $0 \leq t \leq \frac{1}{8}$  では、

所要の精度を満足する  $m$  は、 $\eta = \frac{1}{2}$  のときより、少なくて済むので、 $t$  の区間を適当に分けて、それぞれの区間で、個別の  $m$  に対する近似式を用いて計算すると効率がよい。

本方法は、 $x$  が大きい ( $t$  が小さい) 場合の計算法であり、いかなる値以上の  $x$  で、本方法を用いるかを決めなければならない。 $x$  が小さい場合には、「 $x$  が小さい場合の  $Y_\nu(x)$  の計算法」<sup>4)</sup> を用いることができる。参考文献 4) の図 1 には、その方法の適用限界、すなわち、適用できる最大の  $x$  ( $\nu$  に依存する) が示されている。 $x$  が小さい場合の方法、および、 $x$  が大きい場合の方法（本方法）を、 $\nu$  および  $x$  により、使いわける必要があるが、ここでは、どちらの計算法を使うかを容易にするため、

$$x \leq 4 \quad (37)$$

では、 $x$  が小さい場合の方法、そして、

$$x > 4 \quad (38)$$

では、 $x$  が大きい場合の方法（本方法）を用いることとする。

本方法は、単精度 (8D) の場合には、

$$\left. \begin{array}{l} 4 < x < 10 \text{ では, } \eta = \frac{1}{4}, m = 7 \\ x \geq 10 \text{ では, } \eta = \frac{1}{10}, m = 5 \end{array} \right\} \quad (39)$$

とし、倍精度 (18D) の場合には、

$$\left. \begin{array}{l} 4 < x < 10 \text{ では, } \eta = \frac{1}{4}, m = 23 \\ x \geq 10 \text{ では, } \eta = \frac{1}{10}, m = 15 \end{array} \right\} \quad (40)$$

として、二つの区間において、別個の近似式を用いると能率がよい。

## 2.6 計算式

$Y_\nu(x)$  は、式(6)より、

$$Y_\nu(x) = \sqrt{-t} \left\{ \tilde{P}(\nu, t) \sin \left( x - \frac{1}{2}\nu\pi - \frac{1}{4}\pi \right) + \tilde{Q}(\nu, t) \cos \left( x - \frac{1}{2}\nu\pi - \frac{1}{4}\pi \right) \right\} \quad (41)$$

と書くことができる。ただし、

$$\left. \begin{array}{l} \tilde{P}(\nu, t) = \sqrt{\frac{2}{\pi}} P(\nu, t) \\ \tilde{Q}(\nu, t) = \sqrt{\frac{2}{\pi}} Q(\nu, t) \end{array} \right\} \quad (42)$$

である。 $P(\nu, t)$  および  $Q(\nu, t)$  は、それぞれ、 $f_\nu(t)$  の実部および虚部があるので、 $\tilde{P}(\nu, t)$  および  $\tilde{Q}(\nu, t)$

は、 $f_\nu(t)$  の近似式(19)を用いると、次式のように表される。

$$\begin{aligned} & \left\{ \begin{array}{l} \tilde{P}(\nu, t) \\ \tilde{Q}(\nu, t) \end{array} \right\} \\ & \doteq \left\{ \begin{array}{l} \text{Re} \\ \text{Im} \end{array} \right\} \left( \frac{\sqrt{\frac{2}{\pi}} \sum_{k=0}^m C_{mk}^{*(1)} \sum_{l=0}^k a_l t^l}{\sum_{k=0}^m \frac{(k+1)a_{k+1}\eta^k}{(k+1)a_{k+1}\eta^k}} \right) \\ & = \left\{ \begin{array}{l} \text{Re} \\ \text{Im} \end{array} \right\} \left( \frac{\sqrt{\frac{2}{\pi}} \sum_{l=0}^m a_l t^l \sum_{k=l}^m \frac{C_{mk}^{*(1)}}{(k+1)a_{k+1}\eta^k}}{\sum_{k=0}^m \frac{C_{mk}^{*(1)}}{(k+1)a_{k+1}\eta^k}} \right) \quad (43) \end{aligned}$$

上式を変形すれば、 $\tilde{P}(\nu, t)$  および  $\tilde{Q}(\nu, t)$  に対する能率的な計算式として、

$$\begin{aligned} & \left\{ \begin{array}{l} \tilde{P}(\nu, t) \\ \tilde{Q}(\nu, t) \end{array} \right\} \\ & \doteq \left\{ \begin{array}{l} \text{Re} \\ \text{Im} \end{array} \right\} \left( \frac{\sum_{l=0}^m t^l (-i)^l \frac{d_l}{W_l} \sum_{k=l}^m i^k W_{k+1}}{\sum_{k=0}^m i^k W_{k+1}} \right) \quad (44) \end{aligned}$$

が得られる。ただし、

$$W_0 = 1 \quad (45)$$

$$W_k = \prod_{n=0}^{k-1} \frac{e_n}{\left(n + \frac{1}{2}\right)^2 - \nu^2} \quad (k \geq 1) \quad (46)$$

であり、 $d_l$  および上式の  $e_n$  は、

$$\left. \begin{array}{l} d_0 = \sqrt{\frac{2}{\pi}} \\ d_l = \sqrt{\frac{2}{\pi}} \frac{C_{m, l-1}^{*(1)}}{\eta^{l-1} l} \quad (l \geq 1) \end{array} \right\} \quad (47)$$

$$\left. \begin{array}{l} e_0 = 2C_{m, 0}^{*(1)} \\ e_n = \frac{2n C_{m, n-1}^{*(1)}}{\eta C_{m, n-1}^{*(1)}} \quad (n \geq 1) \end{array} \right\} \quad (48)$$

である。なお、いま考えている  $\nu$  の範囲  $0 \leq \nu \leq 2.5$ において、 $\nu = 0.5, 1.5$  および  $2.5$  の場合には、式(46)の分母は、それぞれ、 $n = 0, 1$  および  $2$  のとき、 $0$  になり、都合が悪いが、この場合には、 $\nu$  が半整数のとき、厳密な式となる漸近展開式(9)および(10)を用いて計算を行えばよい。

## 2.7 プログラム作成上の注意

能率的なプログラムを作成するために、次のことが必要である。

- ① 式(47)の  $d_l$  ( $l = 0, 1, \dots, m$ ) および式(48)の  $e_n$  ( $n = 0, 1, \dots, m$ ) は、固定された  $m$  および  $\eta$  に対して定数であるので、あらかじめ、計算して表にしてお

き、実際に、式(44)の値を求めるときには、その表の値を用いて計算を行う。なお、丸め誤差を防ぐために、 $d_l$  および  $e_n$  は、多倍長計算で求めておくことが好ましい。

② 式(44)の分子の  $(-.)^l d_l / W_l \sum_{k=l}^m i^k W_{k+1}$  および分母の計算値を一時的に記憶しておくとよい。なぜならば、同じ値の  $\nu$  に対して続けて 2 回以上計算するときには、それらの値の計算が不要となり、 $Y_\nu(x)$  の値を能率的に計算できるからである。

## 3. むすび

以上において、 $x$  が大きい場合の  $Y_\nu(x)$  の計算法を述べた。式(44)の  $\tilde{P}(\nu, t)$  および  $\tilde{Q}(\nu, t)$  の計算値を用いれば、 $J_\nu(x)$  の値も、次式により、ほとんど手間をかけることなしに求めることができるであろう。

$$\begin{aligned} J_\nu(x) = & \sqrt{\nu} \left\{ \tilde{P}(\nu, t) \cos\left(x - \frac{1}{2}\nu\pi - \frac{1}{4}\pi\right) \right. \\ & \left. - \tilde{Q}(\nu, t) \sin\left(x - \frac{1}{2}\nu\pi - \frac{1}{4}\pi\right) \right\} \quad (49) \end{aligned}$$

**謝辞** 日頃ご討論いただく本学鳥居達生助教授に感謝します。

## 参考文献

- 1) Lanczos, C.: *Applied Analysis*, pp. 464-507, Prentice-Hall, Englewood Cliffs (1956).
- 2) Goldstein, M. and Thaler, R. M.: Bessel Functions for Large Arguments, *MTAC*, Vol. 12, pp. 18-26 (1958).
- 3) Goldstein, M. and Thaler, R. M.: Recurrence Techniques for the Calculation of Bessel Functions, *MTAC*, Vol. 13, pp. 102-108 (1959).
- 4) 吉田年雄, 二宮市三:  $x$  が小さい場合のベッセル関数  $Y_\nu(x)$  の数値計算, 情報処理学会論文誌, Vol. 23, No. 3, pp. 296-303 (1982).
- 5) Watson, G. N.: *A Treatise on the Theory of Bessel Functions*, 2nd ed., p. 168, Cambridge University Press, Cambridge (1966).
- 6) 森口繁一, 宇田川鉢久, 一松信: 数学公式III, p. 146, 岩波書店, 東京 (1968).
- 7) National Bureau of Standards: *Handbook of Mathematical Functions* (Appl. Math. Ser. 55), p. 774, U.S. Government Printing Office, Washington, D.C. (1964).
- 8) 6) の p. 160.
- 9) Szegö, G.: *Orthogonal Polynomials*, p. 171, American Mathematical Society, Providence, Rhode Island (1967).

## 付 錄

式(35)の  $f_s(t)$  の値は、漸化式による方法<sup>3)</sup>を用いて  $J_s(x)$  および  $Y_s(x)$  の値を計算し、

$$f_s(t) = P(\nu, t) + iQ(\nu, t) \quad (\text{A.1})$$

$$\begin{aligned} P(\nu, t) = & \sqrt{\frac{\pi x}{2}} \left\{ J_s(x) \cos\left(x - \frac{\nu\pi}{2} - \frac{\pi}{4}\right) \right. \\ & \left. + Y_s(x) \sin\left(x - \frac{\nu\pi}{2} - \frac{\pi}{4}\right) \right\} \quad (\text{A.2}) \end{aligned}$$

$$Q(\nu, t) = \sqrt{\frac{\pi x}{2}} \left\{ -J_s(x) \sin\left(x - \frac{\nu\pi}{2} - \frac{\pi}{4}\right) \right.$$

$$+ Y_s(x) \cos\left(x - \frac{\nu\pi}{2} - \frac{\pi}{4}\right) \right\} \quad (\text{A.3})$$

により求めた。ただし、この計算は4倍精度演算を用いて行い、 $f_s(t)$  の値を  $10^{-30}$  程度の相対精度で求めた。

(昭和57年9月8日受付)

(昭和58年1月17日採録)